

Blood Cancer Journal

Том 10 Номер 53 Май 2020

www.nature.com/bcj

Отдаленные результаты рандомизированного исследования III фазы SWOG S0777: комбинация бортезомиба, леналидомида и дексаметазона по сравнению с комбинацией леналидомида и дексаметазона у пациентов с множественной миеломой, ранее не получавших лечения, которым не планировалось проведение неотложной аутологичной трансплантации стволовых клеток (ауто-ТСК)

Longer term follow-up of the randomized phase III trial SWOG S0777:
bortezomib, lenalidomide and dexamethasone vs. lenalidomide and dexamethasone
in patients (Pts) with previously untreated multiple myeloma without an intent
for immediate autologous stem cell transplant (ASCT)

Brian G. M. Durie, Antje Hoering, Rachael Sexton, Muneer H. Abidi, Joshua Epstein,
S. Vincent Rajkumar, Angela Dispenzieri, Stephen P. Kahanić, Mohan C. Thakuri,
Frederic J. Reu, Christopher M. Reynolds, Robert Z. Orlowski и Bart Barlogie

Blood Cancer Journal

Том 10 Номер 53 Май 2020

www.nature.com/bcj

Отдаленные результаты рандомизированного исследования III фазы SWOG S0777: комбинация бортезомиба, леналидомида и дексаметазона по сравнению с комбинацией леналидомида и дексаметазона у пациентов с множественной миеломой, ранее не получавших лечения, которым не планировалось проведение неотложной аутологичной трансплантации стволовых клеток (ауто-ТСК)

Longer term follow-up of the randomized phase III trial SWOG S0777: bortezomib, lenalidomide and dexamethasone vs. lenalidomide and dexamethasone in patients (Pts) with previously untreated multiple myeloma without an intent for immediate autologous stem cell transplant (ASCT)

Brian G. M. Durie, Antje Hoering, Rachael Sexton, Muneer H. Abidi, Joshua Epstein, S. Vincent Rajkumar, Angela Dispenzieri, Stephen P. Kahanić, Mohan C. Thakuri, Frederic J. Reu, Christopher M. Reynolds, Robert Z. Orlowski и Bart Barlogie

Reprinted from an article originally published in English in Blood Cancer Journal (2020).

© Authors, 2020. All Rights Reserved.

Although great care has been taken in the translation of this publication, Springer Healthcare takes no responsibility for the accuracy of the translation from the published English original and are not liable for any errors which may occur.

Репринт оригинальной статьи, опубликованной на английском языке в журнале Blood Cancer Journal (2020).

© Авторы, 2020. Все права защищены.

Несмотря на то что содержание данного репринта было тщательно проверено, Springer Healthcare не несет какой-либо ответственности за точность перевода оригинальной публикации на английском языке и за любые ошибки, которые могут возникнуть в переводе.

Издание на русском языке осуществлено ООО «Глобал Репринт Сервис». ООО «Глобал Репринт Сервис» не несет ответственности за любые возможные ошибки в оригинальном тексте или переводе и любые связанные с ними последствия.

Статья

Открытый доступ

Отдаленные результаты рандомизированного исследования III фазы SWOG S0777: комбинация бортезомиба, леналидомида и дексаметазона по сравнению с комбинацией леналидомида и дексаметазона у пациентов с множественной миеломой, ранее не получавших лечения, которым не планировалось проведение неотложной аутологичной Трансплантации стволовых клеток (ауто-ТСК)

Brian G. M. Durie¹, Antje Hoering², Rachael Sexton², Munneer H. Abidi³, Joshua Epstein⁴, S. Vincent Rajkumar⁵, Angela Dispenzieri⁵, Stephen P. Kahanic⁶, Mohan C. Thakuri⁷, Frederic J. Reu⁸, Christopher M. Reynolds⁹, Robert Z. Orlowski¹⁰ и Bart Barlogie

Тезисы

Рандомизированное исследование III фазы SWOG S0777 было посвящено сравнению комбинированной терапии бортезомибом, леналидомидом и дексаметазоном (VRd) с комбинированной терапией леналидомидом и дексаметазоном (Rd). Настоящий обновленный анализ включает пригодные для оценки конечных точек выживаемости данных 460 пациентов: 225 пациентов, соответствующих критериям включения, с пригодными для анализа данными были randomизированы в группу Rd, а 235 – в группу VRd. Индукционная терапия длительностью 6 месяцев включала шесть 28-дневных циклов Rd и восемь 21-дневных циклов VRd с последующей поддерживающей терапией по схеме Rd у всех пациентов. Медиана наблюдения составила 84 месяца. Медиана выживаемости без прогрессирования (ББП) составила 41 месяц в группе VRd и 29 месяцев в группе Rd; стратифицированное отношение рисков (96%-ный доверительный интервал [ДИ] Вальда) – 0,742 (0,594–0,928) при одностороннем стратифицированном логарифмическом рангтестом $p = 0,003$. Медиана общего выживаемости (ОВ) в группе VRd до сих пор не достигнута, в то время как в группе Rd она составила 69 месяцев; стратифицированное отношение рисков (96%-ный ДИ Вальда) – 0,709 (0,543–0,926), величина стратифицированного двустороннего $p = 0,0114$. После коррекции с учетом возраста в группе VRd отмечены лучшие показатели ВБП и ОВ по сравнению с группой Rd (величины $p: 0,013$ [ВБП]; $0,033$ [ОВ]). Медиана длительности поддерживающей терапии Rd – 17,1 месяца. Добавление бортезомиба к леналидомиду и дексаметазону в схеме индукционной терапии ассоциируется со статистически и клинически значимым улучшением ВБП и ОВ. Таким образом, режим VRd по-прежнему представляет собой оптимальный стандарт лечения независимо от возраста пациентов.

*Адрес для корреспонденции: Brian G. M. Durie (BDurie@myeloma.org)

¹Cedars Sinai Cancer Center, Лос-Анджелес, Калифорния, США

²SWOG Statistical Center, Сиэтл, Вашингтон, США

Полная информация об авторах представлена в конце статьи.

Эти авторы внесли равный вклад в работу над статьей: Robert Z. Orlowski, Bart Barlogie, Bart Barlogie в настоящее время на пенсии.

© Коллектив авторов, 2020 г.



Открытый доступ: Распространение настоящей статьи регулируется положениями некоммерческой лицензии Creative Commons Attribution 4.0 International, разрешающей использование, обмен данными, адаптацию, распространение и воспроизведение на любых носителях или в любом формате, при условии указания выходных данных и авторов оригинальной публикации, ссылки на лицензию Creative Commons и указания внесенных изменений, при наличии таких. Изображения или другие материалы третьей стороны включены в лицензию Creative Commons настоящей статьи, если не указано иное. Если материал не включен в лицензию Creative Commons настоящей статьи и его использование не разрешено нормативными актами или выходит за рамки действующих правил, необходимо получить разрешение непосредственно у правообладателя. Описание лицензии доступно по ссылке <http://creativecommons.org/licenses/by/4.0/>.

Введение

Выбор комбинации бортезомиба, леналидомида и дексаметазона (VRd) при разработке дизайна исследования в 2007 г. был обусловлен стремлением получить максимальный ответ у пациентов с миеломной болезнью в первой линии терапии. На тот момент и бортезомиб, и леналидомид были одобрены для лечения рецидивирующей формы миеломной болезни, однако применение этих препаратов у пациентов с множественной миеломой, ранее не получавших лечения, все еще являлось предметом изучения.

Ингибитор протеасом бортезомиб вызывает уменьшение пролиферации и способствует обратному развитию резистентности к химиотерапии^{1–3}. Леналидомид – это иммуномодулирующий препарат, разносторонняя противомиеломная активность которого обусловлена усиливанием функций иммунной системы, разрывом aberrантной поддержки стромальных клеток, а также прямым противомиеломным действием^{4–7}. И бортезомиб, и леналидомид ингибируют NF-кБ, а их комбинация способствует усилению апоптоза^{8,9}. Кроме того, дексаметазон увеличивает противомиеломную активность^{10,11}. Действительно, до проведения настоящего исследования комбинация VRd демонстрировала многообещающую эффективность как при рецидивирующей, так и при впервые выявленной форме заболевания^{12–14}.

SWOG S0777 стало первым открытым исследованием III фазы, посвященным сравнительной оценке применения комбинаций VRd и Rd у пациентов с впервые диагностированной множественной миеломой. Результаты исследования, опубликованные в 2017 г., продемонстрировали значительное улучшение ВЛП и ОВ на фоне терапии по схеме VRd¹⁵. Настоящая статья посвящена оценке отдаленных исходов на основании данных, полученных до 15 мая 2018 г.

Рандомизация

Пациентов рандомизировали (1:1) в группы стартовой терапии бортезомибом, леналидомидом и дексаметазоном (VRd) или леналидомидом и дексаметазоном (Rd). С целью обеспечения сбалансированности распределения в терапевтические группы в зависимости от факторов стратификации был использован динамический алгоритм распределения, разработанный Rock и Simon. Стратификацию рандомизации осуществляли в зависимости от стадии по Международной системе стадирования (International Staging System, ISS I, II или III) и запланированной трансплантации (да или нет)¹⁶. Пациентов в центрах – участниках NCTN рандомизировали при регистрации. Процедуры рандомизации были разработаны и осуществлялись статистиками SWOG и центра управления данными. Сведения о терапевтических вмешательствах не маскировали.

Процедуры

Пациенты и дизайн исследования

Рандомизированное открытое исследование III фазы SWOG S0777 было выполнено Юго-Западной онкологической группой (Southwest Oncology Group; SWOG) и институтами, входящими в состав Национальной сети клинических исследований (National Clinical Trials Network, NCTN), перечисленными в приложении. В исследование включали пациентов в возрасте ≥ 18 лет с впервые диагностированной миеломой. К критериям включения относились: наличие критериев CRAB (C [calcium elevation] – гиперкальциемия, R [renal impairment] – нарушение функции почек A [anemia] – анемия; B [bone involvement] – остеодеструкция) и заболевания, поддающееся количественной оценке¹⁶. Пациентов с бессимптомным течением заболевания не привлекали к участию в исследовании. Допустимым показателем соматического статуса по критериям Восточной обобщенной группы по онкологии (Eastern Cooperative Oncology Group, ECOG) являлся показатель 0–3 балла¹⁷. Допустимыми лабораторными показателями считали следующие: гемоглобин ≥ 90 г/л,

абсолютное число нейтрофилов ≥ 1×10³ клеток/мм³; число тромбоцитов ≥ 80 000/мм³. К основным критериям исключения относились: клиренс креатинина ≤ 30 мл/мин; III/IV функциональный класс по классификации Нью-Йоркской ассоциации сердца (New York Heart Association, NYHA) или недавно перенесенный инфаркт миокарда; острый вирусный гепатит B, C, вирус иммунодефицита человека (ВИЧ) или другая неконтролируемая инфекция; наличие злокачественного заболевания до регистрации исследования или включения в исследование; неконтролируемый сахарный диабет. Протокол исследования был одобрен институциональными этическими комитетами всех центров – участников исследования. У всех пациентов было получено письменное информированное согласие. Исследование зарегистрировано на ClinicalTrials.gov, идентификационный номер NCT00644228.

в сутки в 1, 8, 15 и 22-й дни каждого 28-дневного цикла. У пациентов, которым в дальнейшем планировалось выполнение трансплантации, проводили забор стволовых клеток. По необходимости дозы корректировали с использованием скользящей шкалы коррекции в соответствии с протоколом; поддерживающую терапию проводили до появления признаков прогрессирования заболевания, токсических эффектов или отзыва согласия пациентом.

Оцениваемые параметры

Первичной конечной точкой являлась ББП от момента рандомизации. Вторичные конечные точки включали ОВ, частоту общего ответа (ЧОО; частичный ответ или лучше), безопасность и забор образцов с целью проведения дальнейших транснациональных исследований. Сбор и анализ данных проводила команда статистического центра SWOG в соответствии со стандартным протоколом выполнения процедур Объединенной группы SWOG. Ответ на лечение и прогрессирование заболевания оценивали централизованно в соответствии с единными международными критериями ответа для множественной миеломы¹⁹. Статус заболевания оценивали по окончании каждого цикла. После прекращения лечения в связи с развитием токсических эффектов, выявлением признаков прогрессирования заболевания или отзывом согласия пациентом наблюдение за статусом заболевания осуществляли 1 раз в 6 месяцев, до наступления летального исхода или в течение максимум 6 лет от момента первоначальной рандомизации. При включении в исследование выполняли анализ образцов костного мозга методом флуоресцентной гибридизации *in situ* (FISH). Предварительный

анализ доступных данных 316 пациентов свидетельствовал о том, что 33% участников относились к группе высокого риска, поскольку они имели хотя бы один признак высокого риска, а именно – транслокации $t(4;14)$, $t(14;16)$ или делеции хромосомы 17 ($del(17)$). Анализ данных FISH из каждого центра – участника исследования будет выполнен в дальнейшем в качестве компонента оценки данных настоящего исследования с целью подтверждения таких сведений, как число и доля клеток, а также возможность одновременного наличия признаков высокого, промежуточного и низкого риска.

Для каждого типа теста FISH использовали стандартные пороговые значения в процентах (обычно 5%, диапазон 1,5–7,5%). Данные о нежелательных явлениях (НЯ) оценивали 1 раз в 3 месяца в течение всего периода лечения, а также по окончанием индукционной и в ходе поддерживающей терапии. Изначально степень тяжести всех НЯ оценивали в соответствии с Общими терминологическими критериями для желательных явлений Национального Института изучения рака (National Cancer Institute Common Terminology Criteria for Adverse Events, CTCAE), версия 3.0. Начиная с 6 апреля 2011 г. степень тяжести серьезных НЯ определяли в соответствии со СТСАЕ, версия 4.0. Неоснепленные данные безопасности дважды в год изучал независимый комитет мониторинга данных и безопасности.

Статистический анализ

Размер выборки был основан на предположении, что скорость набора пациентов, удовлетворяющих критериям включения в исследование, составит 110 человек в год (440 пациентов, удовлетворяющих критериям включения, за 4 года), медиана

Таблица 1. Характеристики пациентов в терапевтических группах

Фактор	Все пациенты	Rd	VRd	p
Возраст ≥ 65 лет	197/460 (43%)	106/225 (47%)	91/235 (39%)	0,074
Женский пол	191/460 (42%)	105/225 (47%)	86/235 (37%)	0,030
Соматический статус > 1 балла по классификации SWOG	53/441 (12%)	29/216 (13%)	24/225 (11%)	0,384
sb2t ≥ 3,5 mg/l	284/458 (62%)	143/224 (64%)	141/234 (60%)	0,442
С-реактивный белок ≥ 8 mg/l	125/443 (28%)	65/219 (30%)	60/224 (27%)	0,527
Креатинин ≥ 2 mg/dl	21/460 (5%)	10/225 (4%)	11/235 (5%)	1,000
Лактатдегидрогеназа ≥ 190 ЕД/л	163/454 (36%)	81/223 (36%)	82/231 (35%)	0,922
Альбумин < 3,5 г/дл	196/458 (43%)	97/223 (43%)	99/235 (42%)	0,778
Hb < 10 г/дл	147/460 (32%)	70/225 (31%)	77/235 (33%)	0,764
Число тромбоцитов < 150×10 ⁹ /л	80/460 (17%)	45/225 (20%)	35/235 (15%)	0,176
III стадия по ISS	155/460 (34%)	78/225 (35%)	77/235 (33%)	0,694
Запланированная трансплантация	315/460 (68%)	153/225 (68%)	162/235 (69%)	0,841

n/N (%); n – число с фактором, N – число с валидными данными для фактора.

НД – нет валидных данных для фактора.

Величины p рассчитывали с использованием точного критерия Фишера.

Величины p отражают сравнения между группами, а не значения для общей популяции.

ББП в контрольной группе составит около 3 лет при экспоненциальном характере распределения ББП, а период дополнительного наблюдения – приблизительно 2,5 года. Исследование было спланировано для выявления отношения рисков (ОР), равного 1,5, при ~87%-ной мощности и общем уровне $\alpha = 0,05$. Таким образом, при выполнении промежуточного анализа для оценки первичной конечной точки ББП использовали односторонний уровень значимости 0,02. Для оценки первичной конечной точки применяли групповой последовательный дизайн с двумя запланированными промежуточными анализами по достижении 1/3 и 2/3 общего числа событий. Для α-затратной функции использовали метод Хейбиттла–Пето (Haybittle–Peto) с односторонним уровнем $\alpha = 0,0025$ для каждого промежуточного анализа^{20,21}. В окончательном анализе односторонний стратифицированный логарифмический ранговый тест выполняли при уровне значимости 0,02 для общего одностороннего уровня $\alpha = 0,025^{22}$. Для сравнения ВБП и ОВ между терапевтическими группами использовали логарифмический ранговый критерий, стратифициро-

ванный в соответствии с факторами, использованными для рандомизации^{19,23}. OR рассчитывали в модели пропорциональных рисков Кокса²⁴. Многофакторный анализ выполняли на не стратифицированной, а скорее скорректированной с учетом факторов стратификации модели с целью проверки предположения о взаимосвязи факторов стратификации с исходами. Для оценки предположений о пропорциональных рисках использовали тест Колмогорова–Смирнова. Ни для одной из независимых переменных данных о нарушении пропорциональных рисков получено не было. Для построения кривых выживаемости использовали метод Каплана–Майера²⁵. Для сравнения частоты общего ответа между группами применяли стратифицированный тест Кокреяна–Мантея–Гензеля^{25,26}. Отношения шансов (ОШ) и соответствующие 95%-ные ДИ рассчитывали по методу Мантея–Гензеля. Общую длительность ответа рассчитывали по методу Каплана–Майера. Все анализы первичной и вторичных конечных точек были предусмотрены протоколом. Анализы проводились в популяции intention-to-treat, то есть всех пациентов,

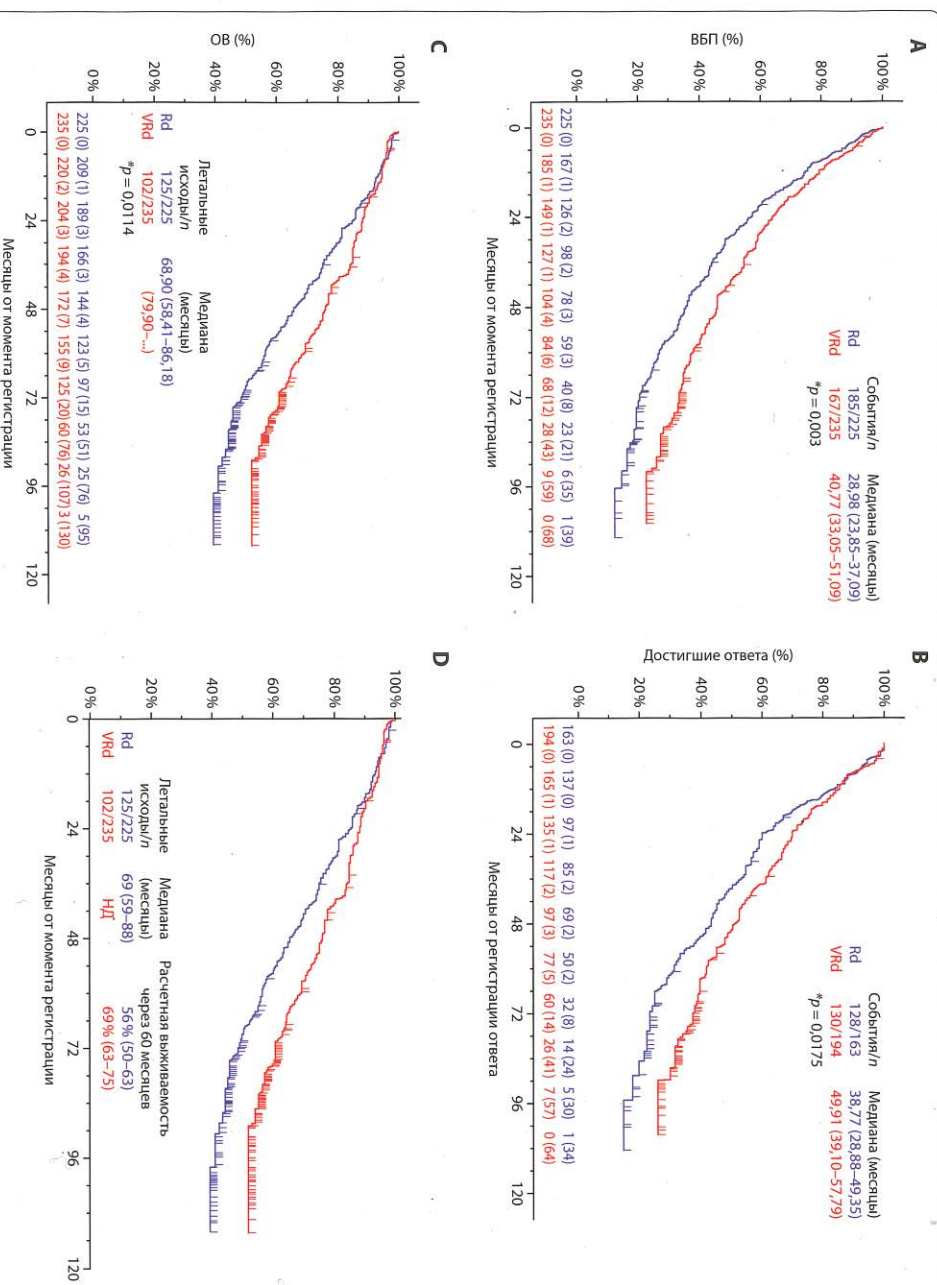


Рисунок 1. Исходы в группах VRd и Rd. **A.** Выживаемость без прогрессирования ($n = 460$). **B.** Длительность ответа ($n = 357$). **C.** Общая выживаемость ($n = 460$). **D.** Общая выживаемость через 5 лет.

удовлетворяющих критериям включения. Пациентов с пропущенными данными, представляющими интерес, исключали из многофакторного анализа. Все анализы выполняли с использованием программного обеспечения SAS (версия 4).

Для сравнения исходных значений параметров применяли точный критерий Фишера. Анализ безопасности включал всех пациентов, удовлетворяющих критериям включения, получивших хотя бы одну дозу исследуемых препаратов, данные которых позволяли оценить токсические эффекты.

Роль источников финансирования

В соответствии с проектом исследование проходило при поддержке спонсора. Финансирование получала непосредственно SWOG, а не авторы. Спонсор исследования не принимал участия и не оказывал влияния на сбор, анализ и интерпретацию данных, а также не участвовал в написании статьи.

Таблица 2. Подтвержденный наилучший ответ у пациентов с пригодными для оценки данными

	VRd ^a (n = 215)	Rd ^a (n = 207)
Полный ответ	24,2% (52)	12,1% (25)
Очень хороший частичный ответ (OХЧО)	50,7% (109)	41,1% (85)
Как минимум OХЧО	74,9% (161)	53,2% (110)
Частичный ответ	15,3% (33)	25,6% (53)
Частота общего ответа	90,2% (194)	78,8% (163)
Стабилизация заболевания	7,0% (15)	16,4% (34)
Прогрессирование заболевания или смерть	2,8% (6)	4,8% (10)

VRd – группа бортезомиба, ленапидомида и дексаметазона; Rd – группа леналидомида и дексаметазона.

^aСтратифицированные анализы Кокрейна–Маннела–Гензеля, выполненные как SWOG, так и независимым эксперты комитетом, указывали на улучшение ответа в группе VRd (OШ 0,528; $p = 0,006$ [11]; OШ 0,38; $p = 0,001$ [анализ чувствительности]).

Ответственный автор обладал полным доступом ко всем данным исследования и несет окончательную ответственность за решение о предоставлении статьи к публикации.

Результаты

В период с апреля 2008 г. по февраль 2012 г. 525 пациентов в 139 центрах SWOG и NCTN, участвующих в исследовании, были рандомизированы в группы VRd (264 пациента) и Rd (261 пациент). Как сообщалось ранее, исходные характеристики между терапевтическими группами были сбалансированы (таблица 1). В группу Rd была рандомизирована несколько большая доля женщин и пациентов в возрасте ≥ 65 лет.

В основу настоящего долгосрочного анализа легли проверенные данные, полученные до 15 мая 2018 г. Полныеведения о профиле исследования с распределением пациентов представлены в приложении 1. В группе VRd данные 235 пациентов были признаны соответствующими критериям включения и пригодными для анализа эффективности, данные 234 пациентов были пригодны для оценки токсических эффектов, данные 215 – для оценки ответа. В группе Rd данные 225 пациентов были признаны соответствующими критериям включения и пригодными для анализа эффективности, данные 222 участников были пригодны для оценки токсических эффектов, данные 207 – для оценки ответа.

На момент анализа 53 пациента (12% пациентов, соответствующих критериям включения) продолжали поддерживавшую терапию. Медиана периода наблюдения составила 84 месяца. Медиана длительности поддерживающей терапии – 17,1 месяца.

Медиана ББП составила 41 месяц в группе VRd и 29 месяцев в группе Rd; стратифицированное ОР (96%-ный ДИ Балльда) 0,742 (0,594–0,928), односторонний стратифицированный логарифмический ранговый $p = 0,003$ (рисунок 1A). Длительность ответа составила 50 месяцев в группе VRd против 39 месяцев в группе Rd ($p = 0,0175$; см. рисунок 1B). Медиана ОВ в группе VRd до сих пор не достигнута, в то время как в группе Rd она составила 69 месяцев; стратифицированное

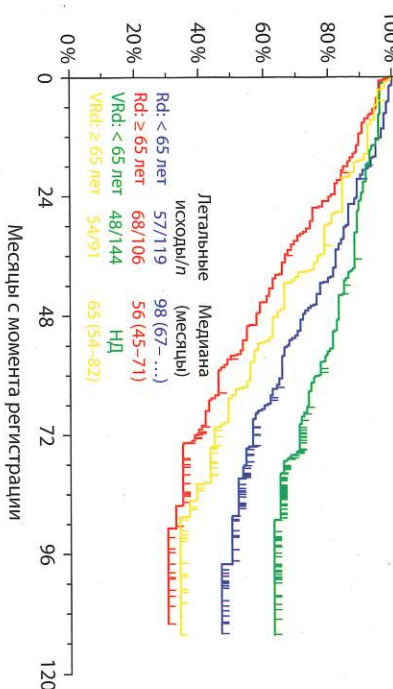
Таблица 3. Выживаемость без прогрессирования и общая выживаемость после коррекции по возрасту в многофакторном анализе

Переменная	n/N (%)	ББП		ОВ	
		ОР (95%-ный ДИ)	p	ОР (95%-ный ДИ)	p
Факторы					
Группа VRd	235/460 (51 %)	0,77 (0,62–0,95)	0,013	0,75 (0,58–0,98)	0,033
III стадия по ISS	155/460 (34 %)	1,34 (1,01–1,77)	0,041	1,98 (1,38–2,86)	< 0,001
II стадия по ISS	179/460 (39 %)	1,12 (0,86–1,47)	0,398	1,36 (0,95–1,97)	0,096
Трансплантация запланирована	315/460 (68 %)	0,95 (0,74–1,23)	0,714	0,73 (0,54–0,99)	0,043
Возраст ≥ 65 лет	197/460 (43 %)	1,27 (1,00–1,61)	0,048	1,63 (1,21–2,19)	0,001

ОР – отношение рисков; ДИ – доверительный интервал; p из показателя теста χ^2 в регрессии Кокса.

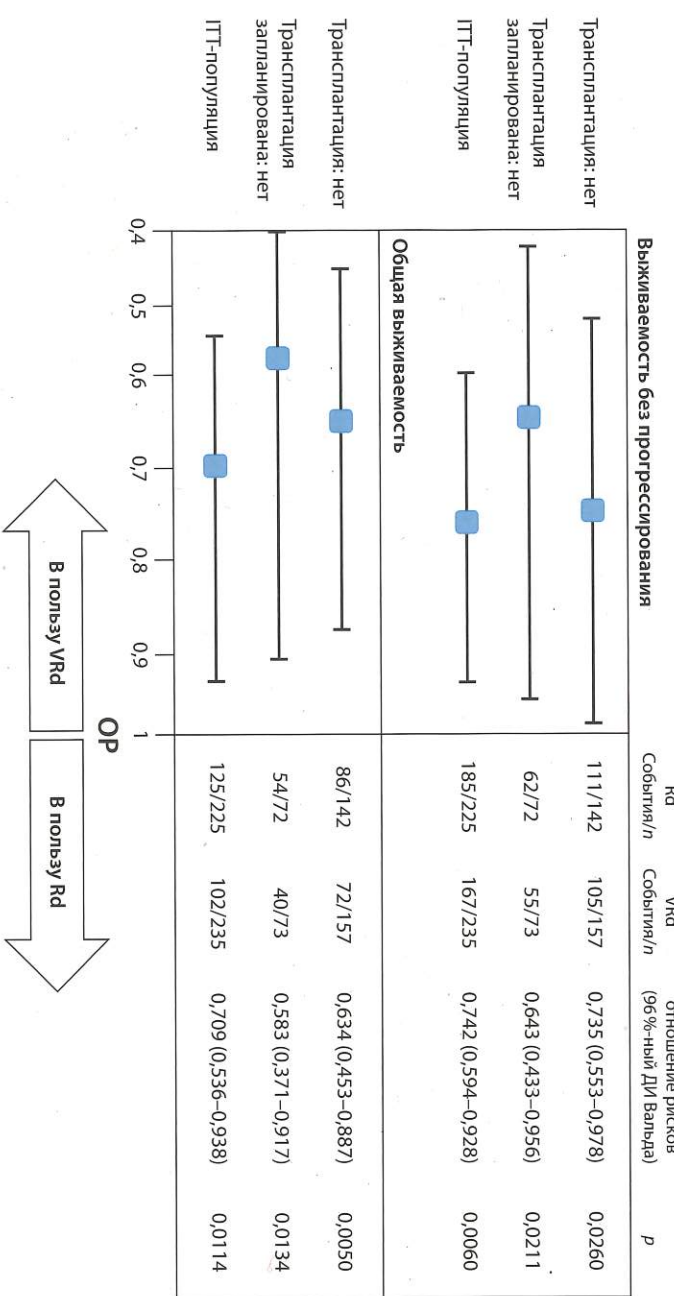
Таблица 4. Влияние возраста на исходы

4а	Общая выживаемость в зависимости от возраста
----	--



Возраст < 65 лет: ОР 0,640 (0,421–0,973);
стратифицированный двусторонний $p = 0,028$
Возраст ≥ 65 лет: ОР 0,769 (0,520–1,138);
стратифицированный двусторонний $p = 0,168$

4б. Иллюстрация некоторых данных лестничных графиков (форест-плот): данные пациентов, которым не была выполнена трансплантация, и участников, которым не планировалось выполнение трансплантации



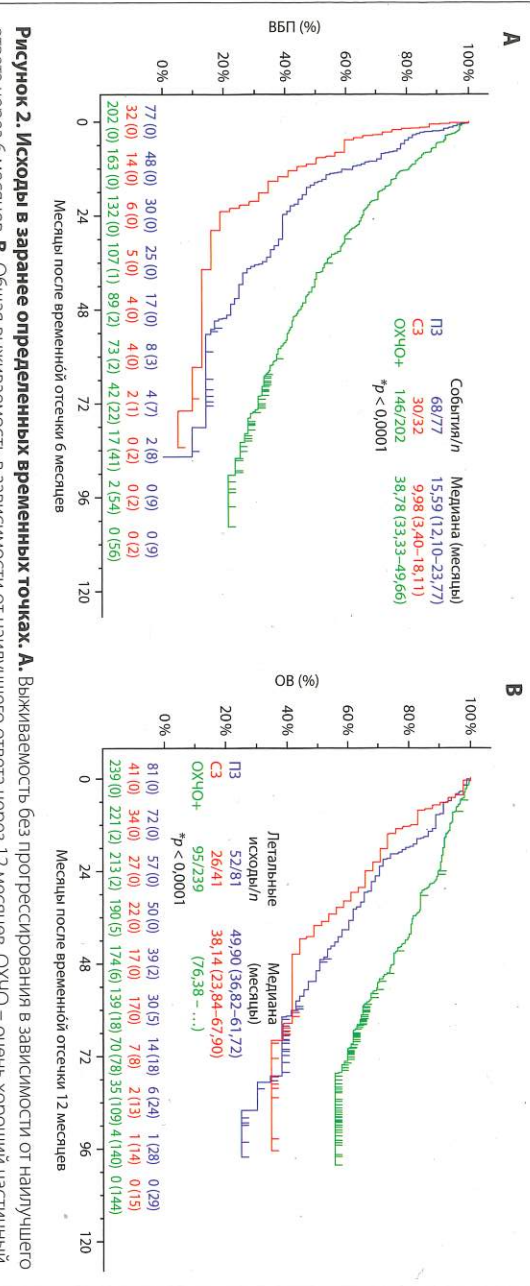


Рисунок 2. Исходы в заранее определенных временных точках. А. Выживаемость без прогрессирования в зависимости от наилучшего ответа через 6 месяцев. **В.** Общая выживаемость в зависимости от наилучшего ответа через 12 месяцев. ОХЧО – очень хороший частичный ответ; |P3 – прогрессирование заболевания; C3 – стабилизация заболевания.

ОР (95 %-ный ДИ Вальда) 0,709 (0,543–0,926), величина одностороннего стратифицированного логарифмического рангового $p = 0,0114$ (см. рисунок 1C). По данным первого анализа¹⁵, медиана ОВ в группе VRd была равна 75 месяцам. После обновления данных в ходе наблюдения и накопления событий в настоящее время расчетная величина медианы не достигнута. При более длительном наблюдении и обновлении данных медиана ОВ в группе VRd превышает 84 месяца. Число событий в группе VRd изменилось с 76/242 в первичном анализе до 102/235 в настоящем анализе. Поскольку в настоящем (втором) анализе длительность ОВ у 133 ныне живых пациентов, получавших VRd, намного больше, истинная медиана до сих пор не достигнута. Расчетный показатель ОВ через 5 лет составил 69% в группе VRd и 56% в группе Rd (см. рисунок 1D).

Глубину наилучшего ответа оценивали с включением новых послеподательных данных и дополнительных результатов анализа костного мозга. ЧОО, при анализе которой пациентов с непротивопоказаниями считали не ответившими на лечение, составила 82,9% в группе VRd против 72,5% в группе Rd ($p = 0,006$ для различий ответа с использованием стратифицированного анализа Корейна–Мандела–Гензеля). Анализ чувствительности, включающий только пациентов с пригодными для оценки данными, продемонстрировал сходные результаты: ЧОО составила 90,2% в группе VRd и 78,8% в группе Rd при частоте достижения как минимум очень хорошего частичного ответа (ОХЧО) среди пациентов с пригодными для оценки данными, равной 74,9% в группе VRd и 53,2% в группе Rd (выделено жирным шрифтом; таблица 2).

Влияние лечения в пределах подгрупп, представляющих интерес, включая запланированную трансплантацию, выполненную трансплантацию и возраст, оценивали с использо-

ванием методики многофакторной регрессии с коррекцией по возрасту (таблица 3). В многофакторном регрессионном анализе влияние лечения сохранялось независимо от возраста и запланированной трансплантации. Эти различия достигли статистической значимости у пациентов в возрасте < 65 лет и > 75 лет (односторонние стратифицированные логарифмические ранговые $p = 0,0138$ и 0,0132 соответственно) (таблица 4). О пользе режима VRd также свидетельствовало статистически значимое улучшение ОВ (по сравнению с Rd) у пациентов в возрасте < 65 лет (односторонний стратифицированный логарифмический ранговой $p = 0,0138$). Кроме того, для оценки пациентов, которым проведение трансплантации не планировалось и/или которым трансплантация не была выполнена, представлены в таблице 4b. Оценка ВБП и ОВ показала значимые дополнительные преимущества терапии по схеме VRd по сравнению с Rd у пациентов с подтвержденными данными об отсутствии трансплантации, а также у участников, которым не планировалось выполнение трансплантации, и среди пациентов в возрасте < 65 лет (см. стратифицированные ОР и величины p , расчищаемые как статистически значимые при уровне < 0,03).

Также в ходе анализа были изучены другие параметры, включая ВБП в зависимости от наилучшего ответа через 6 месяцев после контрольной точки 6 месяцев (рисунок 2A) и ОВ в зависимости от наилучшего ответа через 12 месяцев после контрольной точки 12 месяцев (см. рисунок 2B). График ВБП на рисунке 2A свидетельствует о намного более длительной ВБП у пациентов, достигших как минимум ОХЧО (медиана > 38 месяцев по сравнению с 10–16 месяцами в других категориях; $p < 0,001$), и о существенно более длительной ОВ через 12 месяцев у пациентов, достигших как минимум ОХЧО

Таблица 5. Нежелательные явления, как минимум возможно обусловленные лечением исследуемыми препаратами, классифицированные по категориям

Нежелательное явление	Ревимид/дексаметазон (<i>n</i> = 222)					Венкаде/ревимид/дексаметазон (<i>n</i> = 234)					
	1	2	3	4	5	1	2	3	4	5	
Аллергия/иммунотерапия	12 (5 %)	5 (2 %)				10 (4 %)	4 (2 %)	2 (< 1 %)			
Нарушения слуха и заболевания органа слуха	1 (< 1 %)	16 (7 %)				1 (< 1 %)	8 (3 %)				
Заболевания крови/костного мозга	22 (10 %)	53 (24 %)	68 (31 %)	39 (18 %)		27 (12 %)	52 (22 %)	70 (30 %)	44 (19 %)		
Нарушения ритма сердца	5 (2 %)	4 (2 %)	4 (2 %)			10 (4 %)	3 (1 %)	3 (1 %)			
Заболевания сердца в целом	13 (6 %)	9 (4 %)	8 (4 %)			15 (6 %)	17 (7 %)	21 (9 %)			
Нарушения коагуляции	1 (< 1 %)		3 (1 %)					5 (2 %)			
Конституциональные симптомы	61 (27 %)	77 (35 %)	38 (17 %)			60 (26 %)	84 (36 %)	51 (22 %)			
Легальный исход									2 (< 1 %)		
Дерматология/заболевания кожи	60 (27 %)	23 (10 %)	9 (4 %)			50 (21 %)	41 (18 %)	7 (3 %)	1 (< 1 %)		
Заболевания эндокринной системы	11 (5 %)	8 (4 %)				7 (3 %)	12 (5 %)				
Заболевания органов желудочно-кишечного тракта	77 (35 %)	71 (32 %)	19 (9 %)			64 (27 %)	79 (34 %)	51 (22 %)	2 (< 1 %)	1 (< 1 %)	
Кровоизлияния/кровотечения	13 (6 %)	2 (< 1 %)				9 (4 %)	3 (1 %)	8 (3 %)			
Заболевания печени/поджелудочной железы			2 (< 1 %)								
Инфекции		1 (< 1 %)	31 (14 %)	27 (12 %)	4 (2 %)		1 (< 1 %)	33 (14 %)	34 (15 %)	7 (3 %)	1 (< 1 %)
Заболевания лимфатической системы	58 (26 %)	19 (9 %)	1 (< 1 %)			73 (31 %)	26 (11 %)	4 (2 %)			
Нарушения обмена веществ/отклонения лабораторных показателей	56 (25 %)	58 (26 %)	51 (23 %)	13 (6 %)		50 (21 %)	58 (25 %)	57 (24 %)	8 (3 %)		
Заболевания костно-мышечной системы/мягких тканей	25 (11 %)	25 (11 %)	16 (7 %)	1 (< 1 %)		15 (6 %)	31 (13 %)	24 (10 %)			
Заболевания нервной системы	78 (35 %)	44 (20 %)	21 (9 %)	3 (1 %)		1 (< 1 %)	42 (18 %)	70 (30 %)	77 (33 %)	4 (2 %)	
Заболевания органа зрения/нарушения зрения	21 (9 %)	8 (4 %)	11 (5 %)			39 (17 %)	17 (7 %)	6 (3 %)			
Болевой синдром	44 (20 %)	29 (13 %)	10 (5 %)			55 (24 %)	43 (18 %)	28 (12 %)			
Заболевания легких/верхних дыхательных путей	42 (19 %)	27 (12 %)	9 (4 %)	1 (< 1 %)		56 (24 %)	17 (7 %)	15 (6 %)	5 (2 %)		
Заболевания почек/мочевыводящих путей	3 (1 %)	2 (< 1 %)	9 (4 %)	1 (< 1 %)		10 (4 %)	3 (1 %)	6 (3 %)			
Вторичные злокачественные заболевания			5 (2 %)	1 (< 1 %)			5 (2 %)	2 (< 1 %)			
Нарушения сексуальной/репродуктивной функции	1 (< 1 %)	1 (< 1 %)				3 (1 %)	1 (< 1 %)				
Синдромы				2 (< 1 %)			1 (< 1 %)	2 (< 1 %)	4 (2 %)		
Заболевания сосудов		7 (3 %)	15 (7 %)	6 (3 %)		1 (< 1 %)	9 (4 %)	20 (9 %)	4 (2 %)		

(медиана > 76 месяцев по сравнению с 38–50 месяцами для других категорий: $p < 0,0001$; см. рисунок 2В).

В ходе исследования был проведен анализ исходов, связанных с наличием или отсутствием признаков высокого риска по данным FISH (результаты не представлены). При выявлении тенденции к достижению лучшей ВБП и ОВ в группе VRd у пациентов с *t(4;14)* и/или *del(17)* различия не достигли статистической значимости, главным образом

в связи с ограниченным числом пациентов с доступными данными. Медиана длительности поддерживающей терапии днеландомидом и дексаметазоном составила 17,1 месяца для обеих групп. К сожалению, время до начала следующей линии лечения в настоящем исследовании не оценивали.

НЯ, развившиеся в ходе лечения, классифицируемые в соответствии с Общими терминологическими критериями (4,0), и отдельные токсические эффекты были в целом

балансированы между группами VRd и Rd (таблица 5). К наиболее распространенным гематологическим НЯ относились лимфомиозия, тромбоцитопения, анемия,нейтропения и лейкоцитозы. Среди неhemатологических НЯ чаще всего регистрировали конституциональные симптомы, инфекционные осложнения, нарушения обмена веществ и заболевания нервной системы. Частота токсических эффектов со стороны нервной системы ≥ 3-й степени тяжести была значительно выше в группе VRd по сравнению с группой Rd (34,6 против 11,3%; $p < 0,0001$) (см. таблицу 4). Число вторичных злокачественных заболеваний составило 19/235 (8%) в группе VRd и 16/225 (7%) в группе Rd. Перечень вторичных злокачественных заболеваний представлен в приложении 2.

Обсуждение

Добавление бортезомиба к схеме индукционной терапии леналидомидом и дексаметазоном у пациентов с миеломной болезнью, ранее не получавших лечения, сопровождается статистически и клинически значимым улучшением ВБП и ОВ в течение периода наблюдения, равного 7 годам. Схема VRd характеризуется приемлемым профилем безопасности и переносимости и по-прежнему представляет собой оптимальный стандарт лечения, независимо от возраста пациента и того факта, планируется ли ему проведение трансплантации.

Как и предшествующий анализ, долгосрочное наблюдение показало стойкость преимуществ схемы VRd по сравнению с Rd. МедIANА ВБП в группе VRd составила 41 месяц по сравнению с 29 месяцами в группе Rd (односторонний стратифицированный логарифмический ранговый $p = 0,003$; см. рисунок 1A). МедIANА ОВ не была достигнута (> 84 месяцев) по сравнению с 69 месяцами в группе Rd (односторонний стратифицированный логарифмический ранговый $p = 0,014$; см. рисунок 1C). Эти дополнительные преимущества схемы VRd связаны с большей глубиной достигнутого ответа. На фоне VRd 74,9% пациентов достигли как минимум ОХЧО по сравнению с 53,2% участников, получавших лечение по схеме Rd (см. таблицу 2). Применение VRd сопровождалось явными преимуществами в каждой из трех различных возрастных категорий при увеличении медианы более чем на 10 месяцев во всех возрастных группах. Кроме того, улучшение ОВ отмечалось у пациентов как старше, так и моложе 65 лет. Следует особо отметить, что > 55% пациентов, получающих VRd, продолжают жить через 7 лет (медиана наблюдения 84 месяца).

В рамках публикации первичных данных¹⁵ были встроены дальнейшие рассмотрены преимущества комбинированной терапии ингибитором протеасом и иммуномодулирующим препаратом с учетом предшествующих результатов²⁷⁻³⁰. Примечательно, что положительное влияние индукционной терапии по схеме VRd продолжительностью 6 месяцев сохранилось и по истечении 7 лет наблюдения. Еще более значимым представляется тот факт, что неврологические токсические эффекты ≥ 3-й степени тяжести на фоне индукции по схеме VRd развивались при внутривенном введении бортезомиба

2 раза в неделю. Можно предположить, что использование облегченного варианта режима VRd и любые попытки увеличить количество циклов VRd, включая подкожное введение бортезомиба, могут способствовать дальнейшему улучшению исходов у максимального числа пациентов в возрасте как молоде, так и старше 65 лет. Что касается поддерживающей терапии после индукции, то включение в схему лечения дексаметазона также представляет собой компромисс, позволяющий продолжить текущую терапию.

Как было указано ранее, медиана длительности поддерживающей терапии составила 17,1 месяца. Этот показатель меньше медианных значений (2, 2,5 и 3 года), полученных в исследований, включенных в метаанализ поддерживющей терапии леналидомидом после аутологичной трансплантации

стрововых клеток (ауто-ТСК) у пациентов с впервые диагностированной множественной миеломой³¹. Таким образом, несмотря на отличные результаты исследования S0777, можно предположить, что более длительная поддерживающая терапия обладает дополнительными преимуществами.

Как было указано ранее, частота вторичных злокачественных заболеваний, связанных с лечением, составила 8% в группе VRd и 7% в группе Rd. Из 19 и 16 случаев злокачественных заболеваний, три случая в каждой группе составили злокачественные заболевания крови (перечень злокачественных заболеваний см. в приложении 2). Эти абсолютные числа и доли меньше аналогичных показателей, зарегистрированных по истечении медианы наблюдения 79,5 месяца (против 84 месяцев в исследовании S0777) у пациентов, получавших поддерживающую терапию леналидомидом после трансплантации. У этой категории пациентов совокупная частота вторичных злокачественных заболеваний составила 5,3% для злокачественных гематологических заболеваний и 5,8% для солидных опухолей, то есть всего 11,1%. Следует отметить, что в исследовании S0777 не изучалась терапия мелфаланом, а длительность поддерживающей терапии была меньше.

Сравнения результатов различных исследований характеризуются некоторыми ограничениями, тем не менее интересно сравнить исходы, достигнутые в исследовании S0777 на фоне терапии VRd и Rd, с результатами, полученными в исследованиях IFM 2009 и MAIA^{32,33}. В исследовании IFM 2009 пациенты, получавшие индукционную терапию по схеме VRd, были радиомаркированы в группе упреждающей или отсроченной ауто-ТСК, а частота достижения как минимум ОХЧО составила 77% (по сравнению с 74,9% в исследовании S0777) при медиане ВБП 36 месяцев (против 41 месяца в исследовании S0777). В более позднем исследовании MAIA, результаты которого были представлены в виде тезисов на последнем конгрессе Американского общества гематологов (American Society of Hematology, ASH)³³, с последующей публикацией³⁴, комбинацию дардагумумаба с Rd сравнивали с Rd в первой линии лечения у пациентов, которым не была выполнена трансплантация. В этом исследовании частота достижения как минимум ОХЧО составила 79,3% (несколько выше, чем при терапии VRd), а медиана ВБП хотя и не была

достигнута, но оказалась сопоставимой с результатами исследований S0777 и IFM 2009. При сравнительной оценке режимов VRd и Dara Rd (применялся в исследовании MAIA) в первой линии терапии необходимо дополнительно принимать во внимание два аспекта: продолжающееся использование дарatumумаба в качестве поддерживающей терапии в исследовании MAIA (по сравнению с отсутствием бортезомиба в схеме поддерживающей терапии в исследовании S0777) и неуточненное воздействие схемы Dara Rd у пациентов высокого риска. Р. Karoog и V. Rajkumar предложили провести прямое сравнение режимов VRd и Dara Rd для уточнения их относительных характеристик³⁵. В исследовании MAIA выполнение трансплантации было невозможно у всех пациентов (в то время исследование S0777 насчитывало лишь несколько таких участников), а в исследовании IFM 2009 трансплантация была показана всем пациентам. Несмотря на эти различия, ясно, что применение дарatumумаба может способствовать достижению превосходных результатов в первой линии терапии.

Исследование SWOG S0777 характеризуется некоторыми ограничениями, описанными и рассмотренными в первичной публикации¹⁵. Необходимо вновь подчеркнуть: применение бортезомиба внутривенно 2 раза в неделю сопровождается развитиемнейропатии, что в свою очередь приводит к раннему прекращению индукционной терапии VRd. Возможно, наиболее полезно в этом контексте сравнить результаты исследования S0777 и недавно опубликованного испанского исследования III фазы РЕТНЕМА/GEM 2012³⁶. В исследовании РЕТНЕМА доза интенсивности бортезомиба была снижена до двух подкожных инъекций в неделю в течение 2 недель в ходе 28-дневного цикла. Это позволило выполнить все запланированные шесть циклов индукционной терапии с достижением наилучших показателей ответа и оцениваемых параметров, в том числе у пациентов с признаками высокого прогностического риска. Ограничением исследования S0777 является отсутствие достаточного объема генетических данных для изучения эффективности у пациентов высокого риска.

Таким образом, добавление бортезомиба к lenalidomide и dexametazone в качестве индукционной терапии у пациентов с миеломной болезнью, ранее не получавших лечения, ассоциируется со статистически и клинически значимым улучшением ВБП и ОВ в течение периода наблюдения, равного 7 годам. Режим VRd обладает приемлемым профилем безопасности и переносимости и по-прежнему представляет собой оптимальный стандарт лечения, независимо от возраста пациентов.

Благодарности

Финансирование настоящего проекта осуществлялось с использованием грантов Национального института здоровья (NIH)/Национального института рака (National Cancer Institute) NCI/NCI (гранты: CA18088, CA180819, CA180821, CA180820); Грантов NIH/NCI/Всесообщественной программы исследований в онкологии NCI (NCI/Community Oncology Research Program, NCORP) (гранты: CA189858, CA189971, CA189808, CA189821, CA189829, CA189804, CA189953, CA189830, CA189957, CA189853, CA189872, CA189856, CA189860, CA139519,

CA189854, CA189952, CA189825); наследованных грантов NIH/NCI (гранты: CA04919, CA22423, CA58723, CA68183, CA35996, CA73590, CA12644, CA46282, CA13612, CA37981, CA16385, CA45450, CA46113); частично осуществление финансированось компаниями Millenium Pharmaceuticals, The Takeda Oncology Company и компанией Celgene Corporation, предоставившей исследуемый препарат в соответствии с договором с NCI о совместных исследованиях.

Сведения об авторах

A.H., M.H.A., SVR., J.E., R.S., B.V. и A.D. разрабатывали дизайн исследования. Cedars Sinai Cancer Center, Голливуд, Калифорния, США; ²SWOG Statistical Center, Голливуд, Вашингтон, США; ³Michigan State University/Spectrum Health Cancer Center, Гранд-Рапидс, Мичиган, США; ⁴Myeloma Institute, University of Arkansas for Medical Sciences, Литтл-Рок, Арканзас, США; ⁵Division of Hematology, Mayo Clinic, Рочестер, Миннесота, США; ⁶Sanford NCLORP of the North Central Plains/Siouxland Regional Cancer Center, Си-Сити, Айова, США; ⁷Cancer Care Western NC, Эшливилл, Северная Каролина, США; ⁸Department of Hematology and Medical Oncology, Taussig Cancer Institute, Cleveland Clinic, Кливленд, Огайо, США; ⁹Michigan Cancer Research Consortium NCCORP St. Joseph Mercy Hospital, Энн-Эрбор, Мичиган, США; ¹⁰Department of Lymphoma and Myeloma, The University of Texas MD Anderson Cancer Center, Хьюстон, Техас, США.

Вклад авторов в работу над статьей

A.H., M.H.A., SVR., J.E., R.S., B.V. и A.D. разрабатывали дизайн исследования. S.P.K., M.C.T., F.J.R. и C.M.R. контролировали процесс включения пациентов. A.H., M.H.A. и R.S. выполняли сбор данных. A.H., R.S., R.Z.O., B.V. и A.D. осуществляли анализ данных. Все авторы участвовали в интерпретации полученных данных второго варианта статьи и в утверждении окончательного варианта рукописи. B.G.M.D. создал первый черновой вариант, а также осуществлял общее руководство и поддержку на всех этапах работы.

Сведения о конфликте интересов

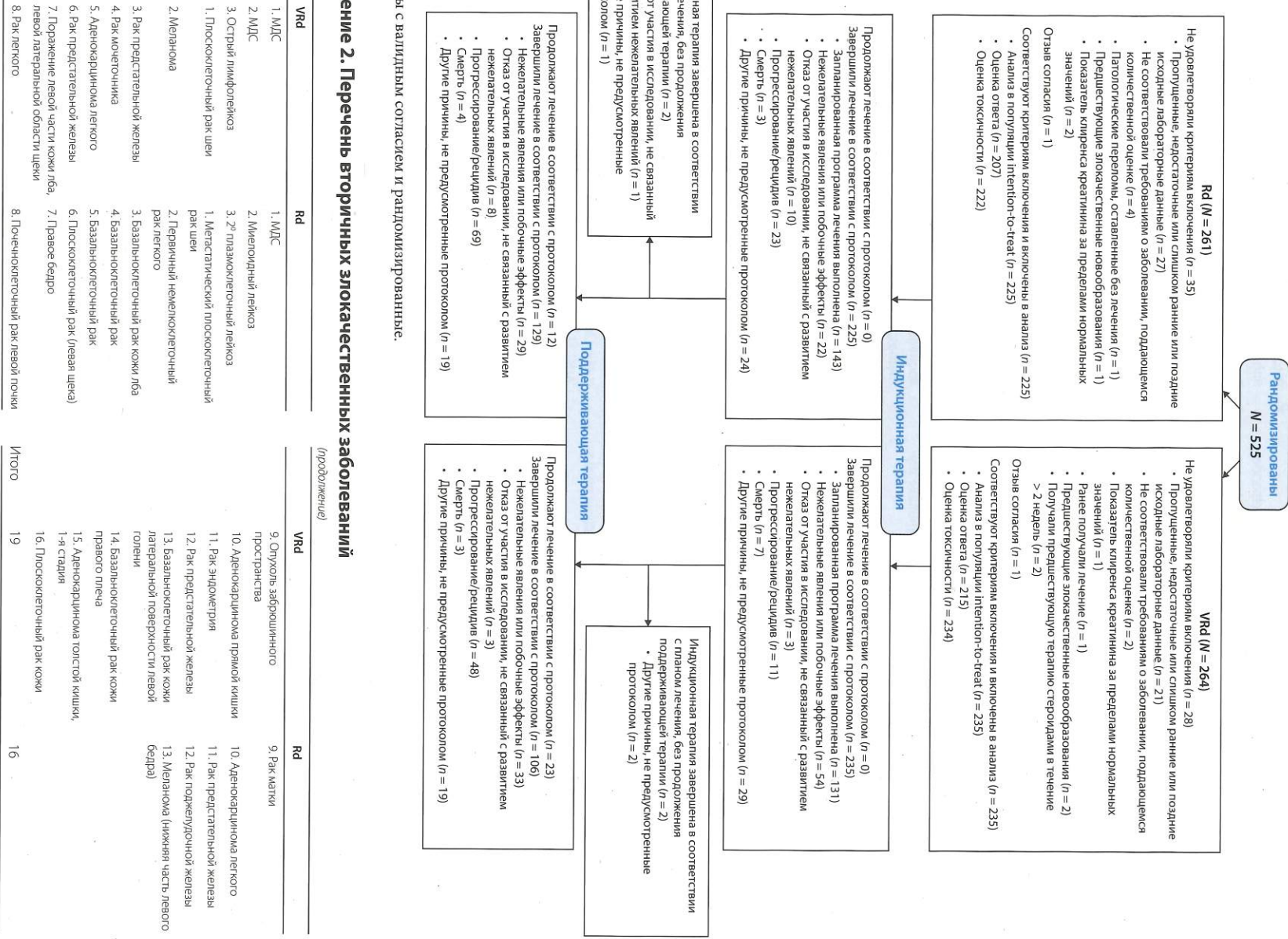
B.G.M.D.: Johnson & Johnson: консультационные услуги; Celgene: консультационные услуги; M.H.A.: Millennium: финансирование исследования; J.E.: University of Arkansas for Medical Sciences: сотрудник; F.J.R.: Takeda/Millennium: финансирование исследования; Novartis: финансирование исследования; Celgene: финансирование исследования; R.Z.O.: BioTherapyX, Inc.: членство в совете директоров или экспертных советах; Janssen Pharmaceutical: членство в совете директоров или экспертных советах; Celgene: консультационные услуги; фармаколог: финансирование исследования; Array Biopharma: консультационные услуги; финансирование исследования; Bristol-Myers Squibb: консультационные услуги; фармаколог: финансирование исследования; Millennium Pharmaceuticals: консультационные услуги, финансирование исследования; Acetylum: членство в совете директоров или экспертных советах; Genentech: консультационные услуги; услуги, финансирование исследования; Spectrum Pharmaceuticals: финансирование исследования; Onyx Pharmaceuticals: консультационные услуги; финансирование исследования; Array Biopharma: консультационные услуги; финансирование исследования; B.B.: Dana Farber Cancer Institute; другое: финансовая поддержка поездок; Международный семинар по Макротробулитеум; другое: финансовая поддержка поездок; Всемирный конгресс по нерешенным проблемам гематологии (International Workshop on Waldenström's Macroglobulinemia); другое: финансовая поддержка поездок; Всемирный конгресс по спортивным проблемам гематологии (Controversies in Hematology) другое: финансовая поддержка поездок; Европейская школа гематологии – Международная конференция по проблемам множественной миеломы (European School of Hematology – International Conference on Multiple Myeloma); другое: финансовая поддержка поездок; Celgene: консультационные услуги; финансирование исследования; Millenium: Millenium: консультационные услуги; финансирование исследования; Myeloma Health LLC: пациенты и родители; совладелец пациентов и пациентных зондов по применению GEP в лечении рака; лицензионных Myeloma Health, LLC; Фонд исследований множественной миеломы (Multiple Myeloma Research Foundation); другое: финансовая поддержка поездок.

Примечание издателя

Издательство Springer Nature заявляет о нейтралитете в случае юридических идейных, связанных с опубликованными материалами и их принадлежностью к учреждениям.

Статья получена: 22 ноября 2019 г. Исправленный вариант получен: 21 февраля 2020 г. Принята в печать: 12 марта 2020 г.
Опубликована онлайн: 11 мая 2020 г.

Приложение 1. Профиль исследования бортезомиба в сочетании с леналидомидом и дексаметазоном (VRd)



Список литературы

- Anonymous. Revlimid® (lenalidomide) [prescribing information]. (Celgene Corporation, Summit, 2017).
- Ilu, G. et al. The myeloma drug lenalidomide promotes the cereblondependent destruction of ikaros proteins. *Science* **343**, 305–309 (2014).
- Lopez-Girona, A. et al. Cereblon is a direct protein target for immunomodulatory and antiproliferative activities of lenalidomide and pomalidomide. *Leukemia* **26**, 2326–2335 (2012).
- Richardson, P. et al. Lenalidomide in multiple myeloma: an evidence-based review of its role in therapy. *Core Evid.* **4**, 215–245 (2010).
- Anonymous Velcade [package insert]. (Millennium Pharmaceuticals, Cambridge, MA, 2017).
- Hideshima, T. et al. Molecular mechanisms mediating antimyeloma activity of proteasome inhibitor PS-341. *Blood* **101**, 1150–1154 (2003).
- Kotha, V. et al. Mechanism of action of lenalidomide in hematological malignancies. *J. Hematol. Oncol.* **2**, 36 (2009).
- Mitsiadis, N. et al. Apoptotic signaling induced by immunomodulatory thalidomide analogs in human multiple myeloma cells: therapeutic implications. *Blood* **99**, 4525–4530 (2002).
- Hideshima, T. et al. The proteasome inhibitor PS-341 inhibits growth, induces apoptosis, and overcomes drug resistance in human multiple myeloma cells. *Cancer Res.* **61**, 3071–3076 (2001).
- Rajkumar, S. V. et al. Combination therapy with lenalidomide plus dexamethasone (Rev/Dex) for newly diagnosed myeloma. *Blood* **106**, 4050–4053 (2005).
- Dimopoulos, M. A. et al. Long-term follow-up on overall survival from the MM-009 and MM-010 phase III trials of lenalidomide plus dexamethasone in patients with relapsed or refractory multiple myeloma. *Leukemia* **23**, 2147–2152 (2009).
- Dimopoulos, M. A. et al. Retrospective matched-pairs analysis of bortezomib plus dexamethasone versus bortezomib monotherapy in relapsed multiple myeloma. *Haematologica* **100**, 100–106 (2015).
- Richardson, P. G. et al. A phase 2 trial of lenalidomide, bortezomib, and dexamethasone in patients with relapsed and relapsed/refractory myeloma. *Blood* **123**, 1461–1469 (2014).
- Richardson, P. G. et al. Lenalidomide, bortezomib, and dexamethasone combination therapy in patients with newly diagnosed multiple myeloma. *Blood* **116**, 679–686 (2010).
- Durie, B. G. et al. Bortezomib with lenalidomide and dexamethasone versus lenalidomide and dexamethasone alone in patients with newly diagnosed myeloma without intent for immediate autologous stem-cell transplant (SWOG 5077): a randomised, open-label, phase 3 trial. *Lancet* **389**, 519–527 (2017).
- Durie, B. G. et al. Myeloma management guidelines: a consensus report from the Scientific Advisors of the International Myeloma Foundation. *Hematol. J.* **4**, 379–398 (2003).
- Oken, M. M. et al. Toxicity and response criteria of the Eastern Cooperative Oncology Group. *Am. J. Clin. Oncol.* **5**, 649–655 (1982).
- Griep, P. R. et al. International staging system for multiple myeloma. *J. Clin. Oncol.* **23**, 3412–3420 (2005).
- Durie, B. G. et al. International uniform response criteria for multiple myeloma. *Leukemia* **20**, 1467–1473 (2006).
- Peto, R. et al. Design and analysis of randomised clinical trials requiring prolonged observation of each patient: I. Introduction and design. *Br. J. Cancer* **34**, 585–612 (1976).
- Haybittle, J. L. Repeated assessment of results in clinical trials of cancer treatment. *Br. J. Radiol.* **44**, 793–797 (1971).
- Mantel, N. Evaluation of survival data and two new rank order statistics arising in its consideration. *Cancer Chemother. Rep.* **50**, 163–170 (1966).
- Cox, D. R. Regression models and life tables (with discussion). *J. R. Stat. Soc. B* **34**, 187–220 (1972).
- Kaplan, E. L. & Meier, P. Nonparametric estimation from incomplete observations. *J. Am. Stat. Assoc.* **53**, 457–481 (1958).
- Agrresti, Alan. *Categorical Data Analysis*, 2nd edn (John Wiley & Sons, New York, 2002).
- Cochran, W. G. Some methods for strengthening the common tests. *Biometrics* **10**, 417–451 (1954).
- Mantel, N. & Haenszel, W. Statistical aspects of analysis of data from retrospective studies of disease. *J. Natl. Cancer Inst.* **22**, 719–748 (1959).
- Cavo, M. et al. GIMEMA Italian Myeloma Network. Bortezomib with thalidomide plus dexamethasone compared with thalidomide plus dexamethasone as induction therapy before and consolidation therapy after double autologous stem-cell transplantation in newly diagnosed multiple myeloma: a randomised phase 3 study. *Lancet* **376**, 2075–2085 (2010).
- Moreau, P. et al. Bortezomib, thalidomide and dexamethasone (VTD) is prior to autologous stem cell transplantation for patients with de novo multiple myeloma: results of the prospective IFM 2013–2014 [ASH Annual Meeting Abstracts 2015, abstract 393]. American Society of Hematology website. <https://ash.confex.com/ash/2015/webprogram/Paper81103.html>. Accessed 10 Nov 2015.
- Jakubowiak, A. J. et al. A phase 1/2 study of carfilzomib in combination with lenalidomide and low-dose dexamethasone as frontline treatment for multiple myeloma. *Blood* **116**, 679–686 (2010).
- McCarthy, P. L. et al. Lenalidomide maintenance after autologous stem-cell transplantation in newly diagnosed multiple myeloma: a meta-analysis. *J. Clin. Oncol.* **35**, 3279–3289 (2017).
- Attal, M. et al. Lenalidomide, bortezomib, and dexamethasone with transplantation for myeloma. *New Engl. J. Med.* **376**, 1311–1320 (2017).
- Facon, T. et al. Phase 3 Randomized study of daratumumab plus lenalidomide and dexamethasone (D-Rd) versus lenalidomide and dexamethasone (Rd) in patients with Newly Diagnosed Multiple Myeloma (NDMM) ineligible for Transplant (MAIA); ASH 2018. Abstract LBA-2.
- Facon, T. et al. Daratumumab plus lenalidomide and dexamethasone for untreated myeloma. *N. Engl. J. Med.* **380**, 2104–2115 (2019).
- Kapoor, P. & Rajkumar, V. MAIA under the microscope—bringing trial design into focus. *Nat. Rev.: Clin. Oncol.* **16**, 339–340 (2019).
- Rositof, L. et al. Bortezomib, lenalidomide, and dexamethasone as induction therapy prior to autologous transplant in multiple myeloma. *Blood* **134**, 1337–1345 (2019).

Celgene |  Bristol Myers Squibb[™]
Company

Распространение рецензии статьи на территории Российской Федерации
осуществлено при поддержке представительства корпорации
«Селжен Интернашнл Холдинг Корпорэйшн» (США).

2003RU2009364-01